

Санкт-Петербургский Национальный Исследовательский Университет  
ИТМО

Факультет Технологического Менеджмента и Инноваций

Отчет по проектной работе:  
**“Визуализация маятника Капицы на Python”**

Выполнили:  
Богданова К.П.  
Титкова А.Д.

Санкт-Петербург,  
2025

## **Личный вклад авторов**

1. Богданова К.П.: разработка визуализации, подготовка графиков и анимации;
2. Титкова А.Д.: теоретический анализ, анализ устойчивости, оформление отчета.

## **Цели и задачи**

**Цель:** создание программной модели, демонстрирующей поведение маятника Капицы - возможность устойчивого равновесия в перевернутом положении при высокочастотных колебаниях точки подвеса.

### **Задачи:**

1. Теоретический анализ системы маятника Капицы и вывод уравнений движения;
2. Численное решение полученных дифференциальных уравнений методами SciPy;
3. Разработка на Python алгоритмов анализа устойчивости системы;
4. Визуализация траектории движения маятника в 3D-пространстве на Python;
5. Анализ характерных режимов движения системы.

## **Актуальность**

Маятник Капицы представляет собой яркий пример системы с динамической стабилизацией, демонстрирующий парадоксальное на первый взгляд поведение - возможность устойчивого равновесия в перевернутом положении при определенных условиях. Этот эффект был открыт советским физиком П.Л. Капицей в 1951 году. Теоретическая значимость проекта заключается в демонстрации возможностей стабилизации механических систем за счет высокочастотных колебаний. С практической точки зрения, принципы, лежащие в основе эффекта Капицы, используются при проектировании современных систем стабилизации, в робототехнике (особенно при создании балансирующих роботов), в конструкции различных измерительных приборов и даже в некоторых медицинских устройствах. Исследование подобных систем важно для развития методов управления сложными динамическими системами. Кроме того, данный проект имеет образовательную ценность для студентов, изучающих теоретическую механику и нелинейную динамику.

## Этапы работы над проектом

### 1. Теоретический анализ

#### 1.1. Физическая постановка задачи

Маятник Капицы представляет собой обычный математический маятник, точка подвеса которого совершает высокочастотные вертикальные колебания с частотой  $\omega$  и амплитудой  $a$ . В отличие от классического маятника, такая система может демонстрировать устойчивое равновесие в перевернутом положении (когда груз находится выше точки подвеса).

#### 1.2. Вывод уравнений движения

Уравнения движения были получены из Лагранжева формализма. Положение маятника описывается углами  $\varphi$  (отклонение от вертикали) и  $\theta$  (азимутальный угол). Учитывая, что точка подвеса совершает колебания по закону  $z(t) = a \cdot \cos(\omega t)$ , кинетическая и потенциальная энергии системы записываются как:

$$T = \frac{1}{2}ml^2(\dot{\varphi}^2 + \dot{\theta}^2 \sin^2 \varphi) + ma\omega l \cdot \sin(\omega t) \cdot \sin \varphi \cdot \dot{\varphi}$$

$$U = -mgl \cdot \cos \varphi - ma\omega^2 l \cdot \cos(\omega t) \cdot \cos \varphi$$

После применения уравнений Лагранжа получаем систему дифференциальных уравнений, реализованную в функции `lagrangian_equations`:

```
def lagrangian_equations(self, t, y):
    """Уравнения Лагранжа для маятника Капицы"""
    phi, theta, phi_dot, theta_dot = y
    # Ускорение точки подвеса (вторая производная от z0 = a cos(omega*t))
    z_acc = -self.a * self.omega**2 * np.cos(self.omega * t)
    # Уравнения движения
    phi_ddot = (self.g/self.l) * np.sin(phi) - (self.a*self.omega**2/self.l) * np.sin(phi) * np.cos(self.omega * t)
    theta_ddot = 0 # Для простоты рассматриваем только движение в плоскости
    return [phi_dot, theta_dot, phi_ddot, theta_ddot]
```

Рисунок 1 – Уравнения движения маятника Капицы

#### 1.3. Условия устойчивости

Теоретический анализ показывает, что перевернутое положение становится устойчивым при выполнении критерия:

$$(a\omega)^2/(2gl) > 1$$

Это условие проверяется в коде при каждом запуске моделирования:

```
omega0 = np.sqrt(self.g / self.l)
# Условие устойчивости
self.is_stable = (self.a / self.l) * (self.omega / omega0) > np.sqrt(2)
```

Рисунок 2 – Анализ устойчивости

## 2. Численное моделирование

Для решения системы дифференциальных уравнений использовался метод DOP853 из библиотеки SciPy, который обеспечивает высокую точность вычислений. Особое внимание было уделено выбору начальных условий - маятник запускается из положения, близкого к перевернутому ( $\varphi = \pi + 0.01$ ), чтобы наблюдать его поведение вблизи точки предполагаемого равновесия.

```
sol = solve_ivp(
    self.lagrangian_equations,
    [0, t_max],
    [initial_angle, 0.0, 0.0, 0.0], # Начальные условия близкие к вертикали
    method='DOP853',
    rtol=1e-8
)
```

Рисунок 3 – Решение системы дифференциальных уравнений

Реализована функция для автоматического определения амплитуды колебаний подвеса, обеспечивающей границу устойчивости согласно критерию Капицы:

```
def calculate_amplitude(self):
    """Автоматический расчет амплитуды"""
    omega0 = np.sqrt(self.g / self.l)
    # Согласно формуле: (a/l)*(w/w0) > sqrt(2)
    # Для демонстрации эффекта возьмем амплитуду, соответствующую границе устойчивости
    return self.l * np.sqrt(2) * omega0 / self.omega
```

Рисунок 4 – Автоматический расчет амплитуды

## 3. Визуализация результатов

### 3.1. Трехмерная анимация

Основная визуализация представляет собой 3D-модель маятника, где:

- Синяя точка отмечает положение точки подвеса;
- Красная точка - груз маятника;
- Зеленая линия показывает траекторию движения груз.

```
def animate(i):
    # Обновление положения маятника
    self.line.set_data([0, self.x[i]], [0, self.y[i]])
    self.line.set_3d_properties([self.z_pivot[i], self.z[i]])

    self.bob.set_data([self.x[i]], [self.y[i]])
    self.bob.set_3d_properties([self.z[i]])

    self.pivot.set_data([0], [0])
    self.pivot.set_3d_properties([self.z_pivot[i]])

    # Обновление траектории
    self.history[0].append(self.x[i])
    self.history[1].append(self.y[i])
    self.history[2].append(self.z[i])
```

Рисунок 5 – Визуализация маятника

### 3.2. Аналитические графики

Дополнительно построены:

- График эффективного потенциала
- График усредненного движения
- Фазовый портрет системы
- Быстрая компонента

```
# График эффективного потенциала
phi_range = np.linspace(0, 2*np.pi, 100)
omega0 = np.sqrt(self.g / self.l)
A = 0.25 * (self.a/self.l)**2 * (self.omega/omega0)**2 # Коэффициент
U_eff = -self.g * self.l * np.cos(phi_range) + self.g * self.l * A * np.sin(phi_range)**2
self.ax_pot.plot(phi_range, U_eff, 'b-')
self.ax_pot.set_title(r"Эффективный потенциал  $U_{eff}(\phi)$ ")
self.ax_pot.set_xlabel(r'Угол  $\phi$  (рад)')
self.ax_pot.set_ylabel('Потенциальная энергия')
```

Рисунок 6 – График эффективного потенциала

```
# Усреднение по быстрым колебаниям (разделение на медленную и быструю составляющие)
# Усреднение методом скользящего среднего
window_size = int(2 * np.pi / (self.omega * (self.t_eval[1] - self.t_eval[0])))
if window_size % 2 == 0:
    window_size += 1

self.X = np.convolve(self.phi, np.ones(window_size)/window_size, mode='same')
self.xi = self.phi - self.X
```

Рисунок 7 – Усредненное движение

```
self.xi = self.phi - self.X
```

Рисунок 8 – Выделение быстрой компоненты

```

self.ax_fast.plot(self.t_eval, self.xi, 'r-')
self.ax_fast.set_title("Быстрая составляющая  $\xi(t)$ ")
self.ax_fast.set_xlabel('Время (с)')
self.ax_fast.set_ylabel('Угол (рад)')

```

Рисунок 9 – Построение графика быстрой компоненты движения

```

dX_dt = np.gradient(self.X, self.t_eval)
self.ax_phase.plot(self.X, dX_dt, 'b-')
self.ax_phase.set_title("Фазовый портрет  $X(t)$ ")
self.ax_phase.set_xlabel('Угол (рад)')
self.ax_phase.set_ylabel('Угловая скорость (рад/с)')

```

Рисунок 10 – Расчет производной усредненного движения и построение фазового портрета

### Выносимые на защиту результаты

#### 1. Подтверждение теоретического критерия устойчивости

Численное моделирование подтвердило, что перевернутое положение маятника действительно становится устойчивым при выполнении условия  $(a\omega)^2/(2gl) > 1$ . В программе это отображается изменением цвета заголовка на зеленый при выполнении критерия устойчивости.

#### 2. Характерные режимы движения

Обнаружены три характерных режима:

- Неустойчивый (маятник быстро падает);
- Переходный (маятник совершает сложные колебания);
- Устойчивый (маятник сохраняет положение вблизи перевернутого состояния).

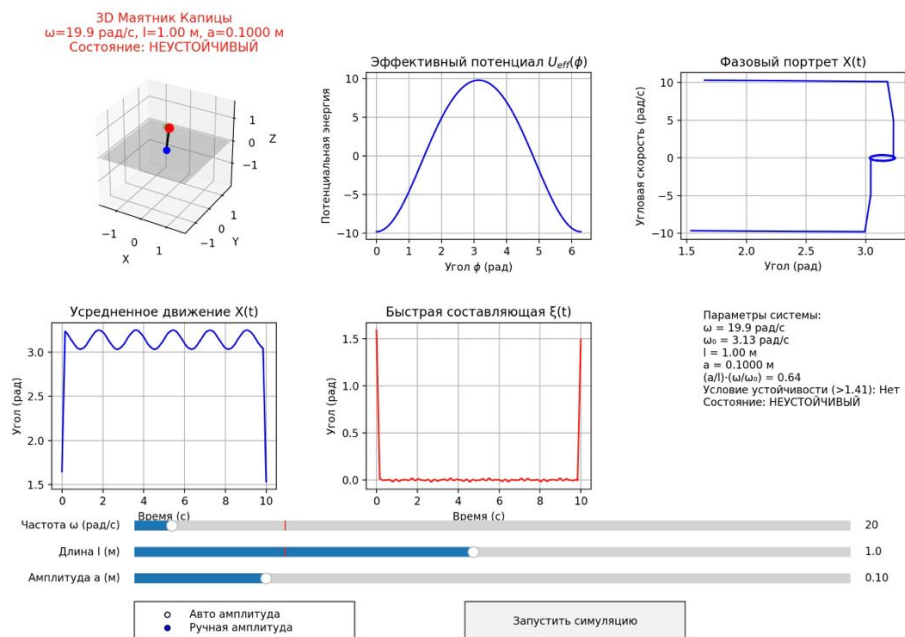


Рисунок 11 – Неустойчивый режим

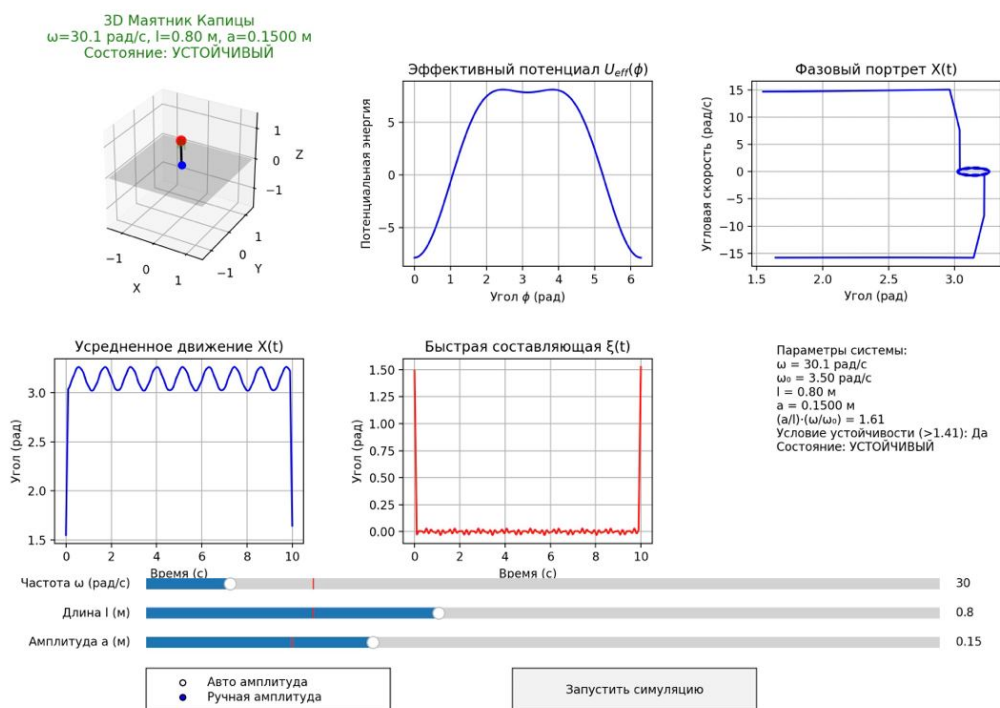


Рисунок 12 – Граничный случай

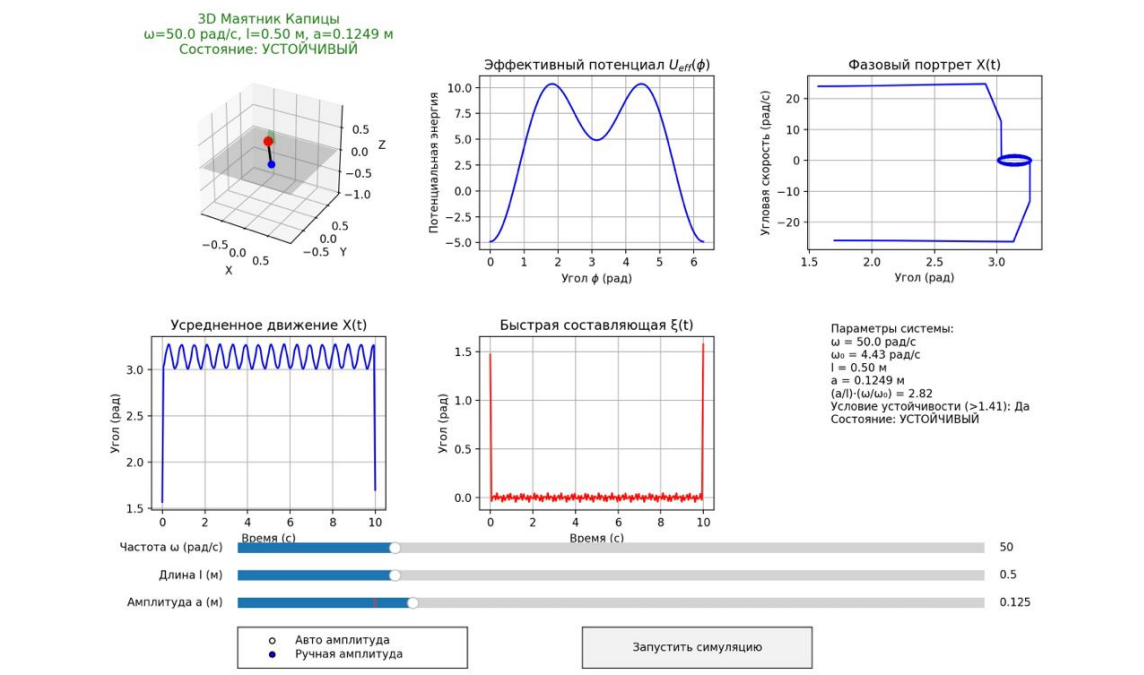


Рисунок 13 – Устойчивый режим

### 3. Эффективный потенциал

Анализ эффективного потенциала  $U_{eff}(\phi) = -g \cdot \cos \phi + (a^2 \omega^2 / 4l) \sin^2 \phi$  показал, что при выполнении условия устойчивости в точке  $\phi = \pi$  действительно образуется минимум потенциала, что соответствует устойчивому положению равновесия.

### 4. Практическая значимость

Разработанная модель позволяет:

- Наглядно демонстрировать эффект динамической стабилизации;
- Исследовать влияние параметров системы ( $\omega$ ,  $l$ ,  $a$ ) на устойчивость;
- Служить основой для модификаций (учет трения, пространственный случай);
- Использоваться как учебное пособие по нелинейной динамике.